

ПРОЦЕССЫ РЕЛАКСАЦИИ ВО ВРЕМЕННЫХ ДИФФЕРЕНЦИАЛЬНЫХ МЕССБАУЭРОВСКИХ СПЕКТРАХ $ZnS - {}^{57}Co$

Р.Кох, Э.Реало

Зависящий от времени сдвиг линии и другие отклонения от теоретических спектров временной фильтрации, обнаруженные во временных дифференциальных мессбауэровских спектрах, свидетельствуют о процессах релаксации со временем жизни около 40 нсек на ионах ${}^{57}Fe^{2+}$ после ядерного распада ${}^{57}Co$ в монокристалле ZnS .

Временная дифференциальная мессбауэровская спектроскопия позволяет исследовать различные постэффекты электронного захвата ${}^{57}Co$ на дочерних атомах железа в твердых матрицах. Релаксация локальных колебательных и электронных возбуждений и др. процессы, времена релаксации τ_r , которых сравнимы со временем жизни мессбауэровского уровня 14,4 кэВ ($\tau = 140$ нсек), проявляются во временных дифференциальных мессбауэровских спектрах (ВДМС) в виде модификаций картины так называемой временной фильтрации. Изучением ВДМС найдены временные зависимости фактора Дебая – Валлера в ${}^{57}CoSO_4 \cdot 7H_2O$ с $\tau_r = 36$ нсек [1, 2], быстрый интрамолекулярный перенос заряда ($\tau_r = 10 - 20$ нсек) [3] и релаксация неоднородности локального окружения с $\tau_r = 30$ нсек [4] в ${}^{57}Co_3[Fe(CN)_6]_2$ и релаксация спиновых состояний с τ_r в интервале 20 – 400 нсек в [${}^{57}Co(phen)_3$](ClO_4) $_2 \cdot 2H_2O$ [5].

Нами обнаружены временные зависимости сдвига (положения) линии и фактора Дебая – Валлера в ВДМС примеси ${}^{57}Fe^{2+}$ в монокристаллах ZnS при 295 К¹⁾.

Источник $ZnS - {}^{57}Co$ (~6 мккюри) был приготовлен выпариванием в вакууме нанесенного на поверхность монокристалла ZnS раствора ${}^{57}CoCl_2$ в HCl с последующей прокалкой при 900 °С в течение 24 часов в запаянной эвакуированной кварцевой ампуле. Использовался обогащенный по ${}^{57}Fe$ поглотитель $K_4Fe(CN)_6 \cdot 3H_2O$ толщиной $\beta = 8 \pm 0,5$ при 295 К.

Мессбауэровский спектрометр с системой задержанных совпадений обеспечивал одновременную регистрацию 4 ВДМС на различных заданных временных интервалах с шириной 12 – 14 нсек после образования уровня 14,4 кэВ, т.е. после регистрации γ -кванта 122 кэВ. Время разрешения системы задержанных совпадений было 5,6 нсек. Все ВДМС в пределах 0 – 500 нсек измерялись при 295 ± 2 К. Для сравнения и контроля аппаратуры снимались также ВДМС для однолинейчатого источника ${}^{57}Co$ в металлическом палладии.

1) Особенности обычных мессбауэровских спектров $ZnS - {}^{57}Co$ при температурах около 0 К, которые объясняются Имбертом и др. [6] как проявление термически неравновесных заселений уровней Fe^{2+} , при высоких температурах не наблюдаются.

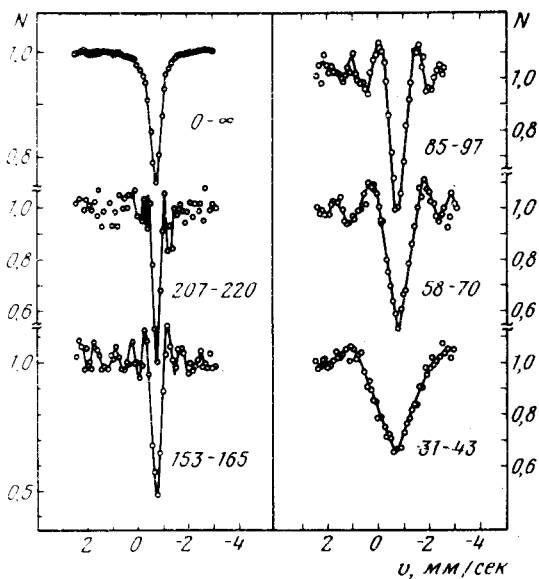


Рис. 1. Обычный мессбауэровский спектр ($0 - \infty$ и ВДМС источника $ZnS - ^{57}Co$ для различных интервалов задержки (в наносекундах) при 295K

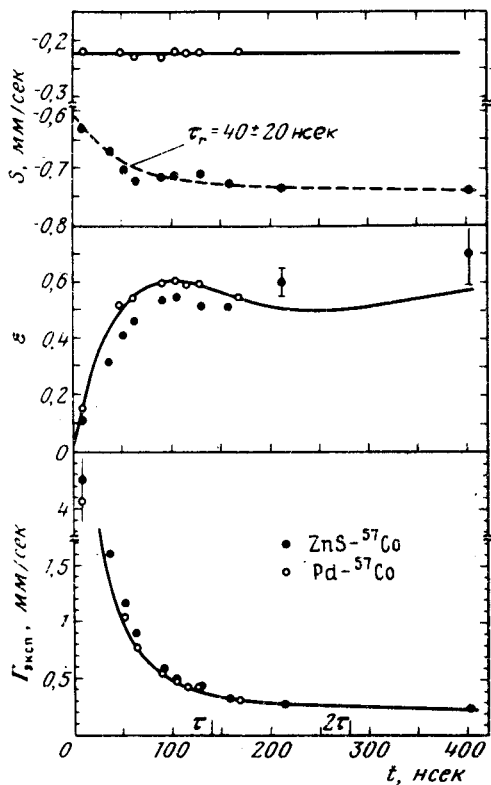


Рис. 2. Зависимость параметров центральной линии ВДМС $ZnS - ^{57}Co$ и $Pd - ^{57}Co$ от средней времени задержки t . Сплошные линии — зависимости $S(t)$, $\epsilon(t)$ и $\Gamma(t)$, рассчитанные по [7]

На рис. 1 представлены обычные (интегральный во времени) спектр и 5 ВДМС монокристалла $ZnS - ^{57}Co$ при 295 K для различных временных интервалов. Обычный спектр представляет собой одиночную линию поглощения с изомерным сдвигом $S = 0,73 \pm 0,03$ мм/сек и шириной $\Gamma_{\text{эксп}} = 0,43 \pm 0,03$ мм/сек, соответствующую по параметрам ионам $^{57}Fe^{2+}$ примеси

в катионных узлах матрицы. Особенности временной фильтрации (изменение ширины линии от задержки и осцилляции на "крыльях" линии) отчетливо выражены во всех ВДМС, причем для $ZnS - {}^{57}Co$ наблюдается заметная асимметрия осцилляции.

Зависящие от времени параметры центральной линии (ширина $\Gamma_{\text{эксп}}$, величина эффекта ϵ и сдвиг линии S в зависимости от средней времени задержки t) определенные из экспериментальных ВДМС (рис. 2), сравнивались с соответствующими величинами теоретических спектров, вычисленных на ЭВМ по модели временной фильтрации одиночной линии Хамермеша и Харриса [7]. Их выражения интегрировались по заданному временному интервалу шириной 14 нсек для поглотителя $\beta = 8$. Вычисленные зависимости $\epsilon(t)$ и $\Gamma(t)$ показаны на рис. 2 сплошными линиями.

Хорошее совпадение вычисленных и экспериментальных ВДМС найдено для источника ${}^{57}Co$ в Pd, в соответствии с тем обстоятельством, что в металлических матрицах постэффекты затухают за время $\tau_r < 10^{-11}$ сек и зависящие от времени изменения в их ВДМС обусловлены лишь эффектами временной фильтрации.

Для ВДМС кристалла $ZnS - {}^{57}Co$ наблюдаются систематические отклонения от теоретической модели:

1) зависящий от времени сдвиг положения линии (центра тяжести центральной линии) $S(t)$. Сдвиг уменьшается при $T \rightarrow 0$ по эмпирической зависимости

$$S(t) = [-0,74 + 0,14 \exp(-t/\tau_r)] \text{ мм/сек},$$

где t в нсек и $\tau_r = 40 \pm 20$ нсек;

2) величина эффекта $\epsilon(t)$ меньше для времен задержки $0 - 1,2\tau$ и около 20% выше для $1,5\tau - 3\tau$;

3) уширение линии выше теоретической ширины для задержек от 0 до τ .

Такие особенности свидетельствуют о том, что на временную фильтрацию накладывается процесс релаксации на ионах ${}^{57}Fe^{2+}$ со временем жизни $\tau_r = 40 \pm 20$ нсек, сравнимым с τ , возбуждаемый распадом материнского ${}^{57}Co$ иона в матрице ZnS .

Наблюдаемые явления в ВДМС можно качественно объяснить действием следующих процессов релаксации:

1) локальный нагрев, вызванный перестройкой электронных оболочек или электронно-колебательными переходами в возбужденном ионе ${}^{57}Fe^{2+}$ и характеризующийся повышенными над термически равновесной среднеквадратичными амплитудами и скоростями колебаний, вызывает отклонения в зависимостях $S(t)$ и $\epsilon(t)$ через зависящие от времени доплеровский сдвиг второго порядка и фактор Дебая – Валлера, соответственно. Грубая оценка показывает, что локальная эффективная температура должна превышать 500 К при $t = 5$ нсек. Тот же механизм объясняет дополнительное уширение линии в начальных стадиях релаксации.

2) Затухание возбужденного электронного состояния иона Fe^{2+} вызывает изменение во времени кулоновского взаимодействия и, следовательно, изомерного сдвига линии (см. [8]) и также зависимостей $\epsilon(t)$ и $\Gamma_{\text{эксп}}(t)$.

Дальнейшие эксперименты при различных температурах и расчеты моделей релаксации должны выяснить роль названных механизмов.

Авторы искренне благодарны К.К.Ребане и В.В.Хижнякову за постоянный интерес к работе и многие ценные обсуждения и Х.Ю.Раудсепп за помощь при построении аппаратуры.

Институт физики
Академии наук Эстонской ССР

Поступила в редакцию
24 октября 1979 г.

Литература

- [1] G.R.Hoy, P.P.Wintersteiner. Phys. Rev. Lett., **28**, 877, 1972.
 - [2] H.Berlin, J.Schmand. Abstr. Intern. Conf. Mössbauer Spectroscopy, Portorož 1979, p. 20.
 - [3] V.P.Alekseev, V.L'Goldanskii, V.E.Prusakov, A.V.Nefedev, R.S. Sturkan. JETP Lett., **16**, 43, 1972.
 - [4] T.Kobayashi, T.Kitahara. Abstr. Intern. Conf. Mössbauer Spectroscopy, Portorož 1979, p. 86.
 - [5] R.Grimm, P.Gütlich, E.Kankeleit, R.Link. J. Chem. Phys., **67**, 5491, 1977.
 - [6] C.Garcin, P.Imbert, G.Jehanno, A.Gerard. Proc. Int. Conf. Mössbauer Spectroscopy, Bucharest 1977, vol. II, p. 123.
 - [7] F.J.Lynch, R.E.Holland, M.Hamermesh. Phys. Rev., **120**, 513, 1960; S.M.Harris. Phys. Rev., **124**, 1178, 1961.
 - [8] E.Kankeleit. Z.Phys., **A275**, 119, 1975.
-